

6. Prinzipien von Szintillations-Detektoren:

- (a) Szintillationsmechanismus
- (b) Organische, anorganische Szintillatoren: Lichtausbeute, Wellenlängenschieber
- (c) Nachweiseffizienz für Strahlung: schwere Ionen, Elektronen, Gammastrahlung, Neutronen
- (d) Photomultiplier, Avalanche-Photodioden: Konstruktionsprinzipien, Einsatzgebiete, Limitierungen

Scintillations-Detektoren

Ionisation und Anregung ~~sind~~ die wesentlichen Mechanismen, mit denen Teilchen ihre Energie auf das Detektormaterial übertragen. Dies gilt auch für Festkörper. Allerdings wird hierbei zur Messung des Energieübergangs meist ein anderer Mechanismus als die Ladungsmessung benutzt. Und zwar wird das Licht registriert, welches als Folge von Rekombination bzw. Abschaltung emittiert wird. Bei transparenten Festkörpern liegt die Frequenz dieses Lichtes (mitunter weit) jenseits des UV-Bereichs, sodass erst nach einer Wellenlängenverschiebung in den sichtbaren Bereich das Licht den Festkörper verlassen und somit gemessen werden kann. Solche Lichtemission bei Bestrahlung mit Teilchen wird Scintillation genannt. Scintillationslicht tritt bei anorganischen wie auch organischen Substanzen auf. Die Mechanismen der Lichtentstehung sind für diese beiden Stoffklassen aber verschieden. Ein Beispiel für Scintillationslicht ist die Leuchtschicht einer Fernschreiber, die die Elektronen der Elektronenkanone "nachweist" durch aufleuchten.

Szintillations-Detektoren

Besondere Eigenschaften:

- kurze Antwortzeit zw. einigen 100 ps bis zu 1 μs
- Lichtsignal proportional zur Energiedeposition
- Teilchenunterscheidung durch charakt. Pulsform des Lichtsignals

Aufforderungen an Szintillationsmaterial für Detektoranwendungen:

- Hohe Effizienz bei Umwandlung der Anregungsenergie in Szintillationslicht
- Transparenz für Szintillationslicht
- Lichtspektrum im geeigneten Frequenzbereich für Photokathoden der Photomultiplier
- kurze Ablösingzeit des Szintillationslicht nach Energiedeposition (\rightarrow geringe Totzeit bis zur Bereitschaft, das nächste Teilchen nachzuweisen)

Anorganische Scintillatoren...

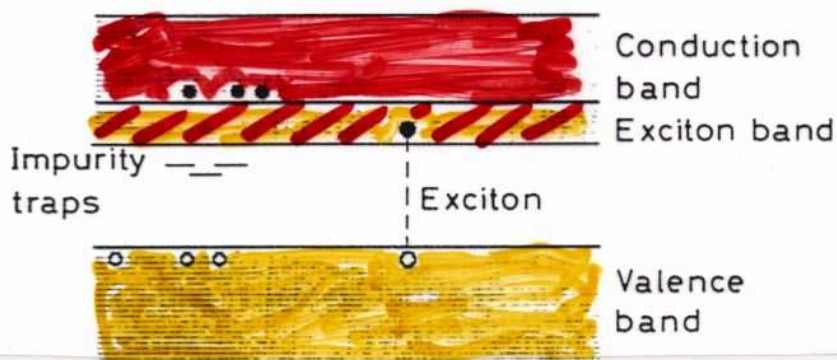


Fig. 7.7. Electronic band structure of inorganic crystals. Besides the formation of free electrons and holes, loosely coupled electron-hole pairs known as excitons are formed. Excitons can migrate through the crystal and be captured by impurity centers.

... sind meist Kristalle oder Glas, die mit Aktivatorzentren dotiert sind. Durch Teilchenstrahlung werden in diesen anorg. Scintillatoren freie Elektronen, freie Löcher und Exitonen (Elektron-Loch-Paare) erzeugt. Die Aktivatorzentren dienen zur Wellenlängenverschiebung, denn Licht aus Rekombination & Abregung hat nur eine geringe freie Weglänge bis zur erneuten Absorption ("Resonanzstreuung"). Freie Elektronen, freie Löcher und Exitonen wandern durch den Kristall, treffen auf ein Aktivator-Zentrum (Farbzentrum), übertragen ihre Energie, die dann von Aktivator bei geringer Frequenz abgestrahlt wird und den Kristall verlassen kann.

Anorganische Szintillatoren

Eigenschaften (pos. & neg.):

- + kurze Strahlungslänge λ_0
- + hohe Lichtausbeute (pro Energieverlust)
→ wichtig für Genauigkeit der Energiedecksung
- langsame Lichtemission typ. einige 100 ns Abblenkt
- Feuchtigkeitsempfindlichkeit (Hygroskopie) mancher Kristalle (z.B. NaF , CsI , BaF_2)

Anorganische & organische Szintillatoren

Eigenschaften anorganischer Szintillatoren

Szintillator	NaI(Tl)	CeF ₃	CsI(Tl)	BGO Bi ₄ Ge ₃ O ₁₂	Ba F ₂	Viele weiter ...
Dichte(g/cm ³)	3.67	6.16	4.51	7.13	4.9	
Schmelzpunkt(°C)	650		620			
Abklingzeit(ns)	230	5 20	1000	350	620	0.6
λ _{max} (Emission)(nm)	410	300 340	550	480	310	225
Ausbeute (Photonen/MeV)	4x10 ⁴		1.1x10 ⁴	2.8x10 ³	6.5x10 ³	2x10 ³
Strahlungslänge						
X ₀ (cm)	2.59	1.68	1.86	1.12	2.1	
Brechungsindex n	1.85		1.80	2.15	1.56	
(dE/dx) _{min} (MeV/cm)	4.2		5.1	8.07	6	
hygroskopisch	sehr	nein	etwas	nein	leicht	

Organische Fluoreszenzstoffe und Wellenlängenschieber

Primärer Fluoreszenzstoff	Struktur	λ _{max} Emission (nm)	Abkling- zeit (ns)	Ausbeute/ Ausbeute (NaI)
Naphthalen <chem>C10H8</chem>		348	96	0.12
Anthracen <chem>C14H10</chem>		440	30	0.5
p-Terphenyl <chem>C18H14</chem>		440	5	0.25
PBD <chem>C20H14N2O</chem>		360	1.2	
+... Viele Weitere				
<u>Wellenlängenschieber</u>				
POPOP <chem>C24H16N2O2</chem>		420		1.6
bis-MSB		420		1.2

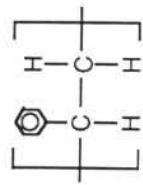
Appendix II.A

Glossary of common solvents and fluors

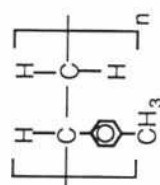
(A) Solvents

Plastics:

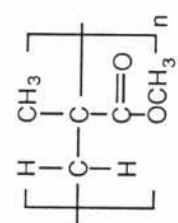
[1] PS polystyrene



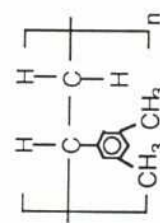
[2] PVT polyvinyltoluene



[3] PMMA polymethylmethacrylate



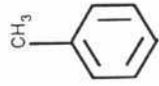
[4] PVX polyvinylxylene



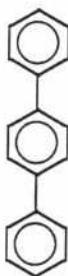
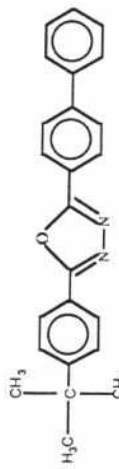
(B) Primary Fluors

Liquid:

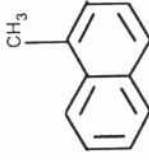
[5] Toluene



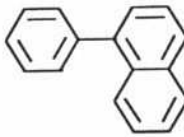
[1] PTP para-terphenyl

[2] BPBD 2-(4-biphenyl)-5-(4-*tert*-butylphenyl)-1,3,4-oxadiazole

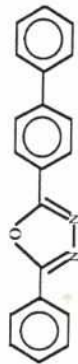
[6] 1MN 1-methyl-naphthalene



[7] 1PN 1-phenyl-naphthalene

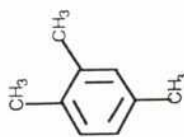
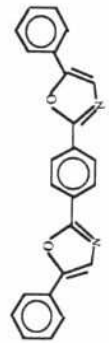
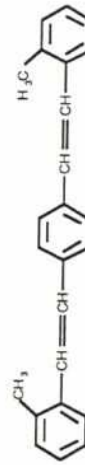


[4] PBD 2-(4-biphenyl)-5-phenyl-1,3,4-oxadiazole



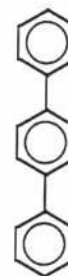
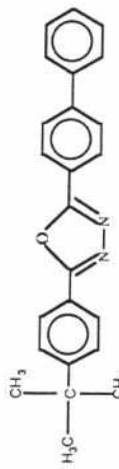
(C) Secondary Fluors

[8] pseudocumene

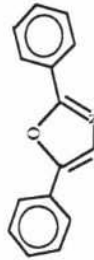
[1] POPOP *p*-bis[2-(5-phenyloxazolyl)]benzene[2] bis-MSB *p*-bis(*o*-methylstyryl)benzene

(B) Primary Fluors

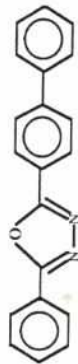
[1] PTP para-terphenyl

[2] BPBD 2-(4-biphenyl)-5-(4-*tert*-butylphenyl)-1,3,4-oxadiazole

[3] PPO 2,5-diphenyloxazole

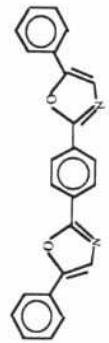
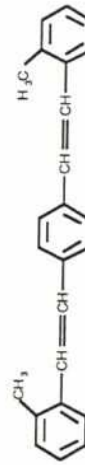


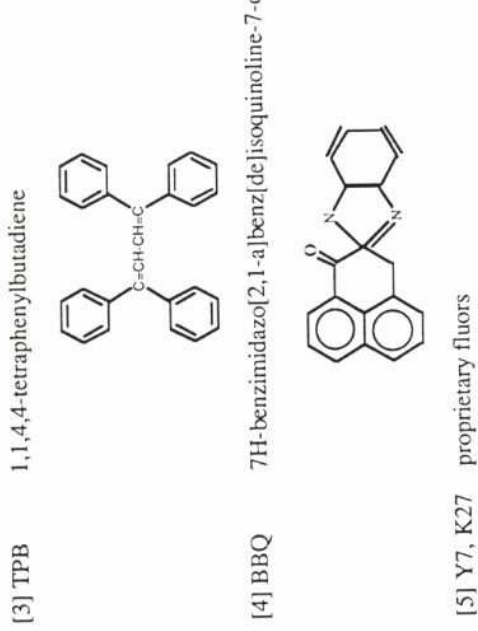
[4] PBD 2-(4-biphenyl)-5-phenyl-1,3,4-oxadiazole



(C) Secondary Fluors

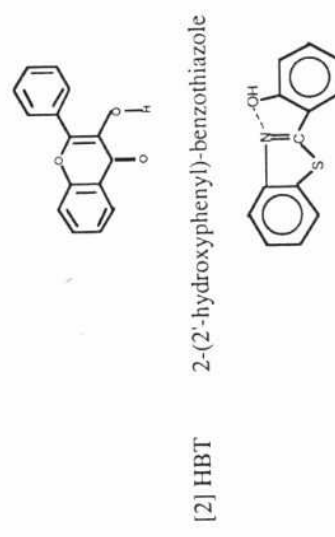
[8] pseudocumene

[1] POPOP *p*-bis[2-(5-phenyloxazolyl)]benzene

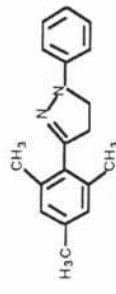


(D) Large Stoke Shift Fluors ($>10,000 \text{ cm}^{-1}$)

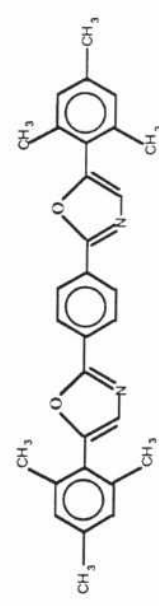
[1] 3HF 3-hydroxyflavone



[4] PMP 1-phenyl-3-mesityl-2-pyrazoline

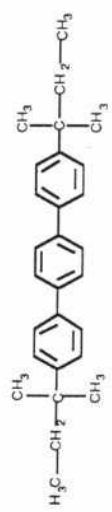


[5] MOPOM

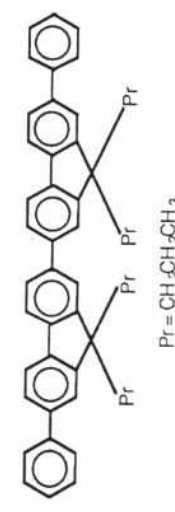


(E) Oligophenylenes

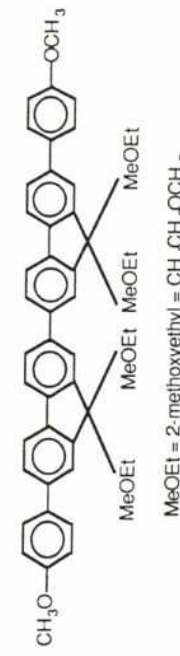
[1] DAT 4,4"-di-t-amyl-terphenyl



[2] O408



[3] O415 Oligo 415



$\text{MeOEt} = 2\text{-methoxyethyl} = \text{CH}_2\text{CH}_2\text{OCH}_3$

Organische Scintillatoren

Im Gegensatz zu den anorganischen Scintillatoren spielt sich bei organischen Scintillatoren der Lichtentstehungsprozess innerhalb eines Moleküls ab. Dadurch kommen extrem kurze Signal-Ablenkzeiten zustande (u.U. $\approx 100\text{ps}$). Allerdings ist der Lichtentstehungsprozess komplizierter als in anorg. Scintillatoren. So gibt es meist zwei Lichtkomponenten bei unterschiedlichen Wellenlängen und mit großen Unterschieden in den Ablenkzeiten (schnell: $\approx 1\text{ns}$; langsam: $\approx 100\text{ns}$). Ursache dafür sind zwei Prozesse:

- **Fluoreszenz**: Nach Anregung durch Absorption eines Photons (z.B. aus einer Rekombination) wird diese Energie bei größerer Wellenlänge wieder abgestrahlt und zwar prompt ohne Zeitzögung (\cong erlaubter Übergang zw. zwei Energieniveaus)
- **Phosphoreszenz**: Hier wird die Anregungsenergie sehr verzögert abgegeben, weil ein (durch Multipol-Auswahlregeln) verbotener Übergang zwischen angeregtem und Grundniveau notwendig wäre. Dieser Übergang wird erst durch die Wechselwirkung mit einem anderen Molekül (in gleichen Anregungszustand) möglich.

Ablösungsverhalten von Scintillatoren

7.2 Organic Scintillators

151

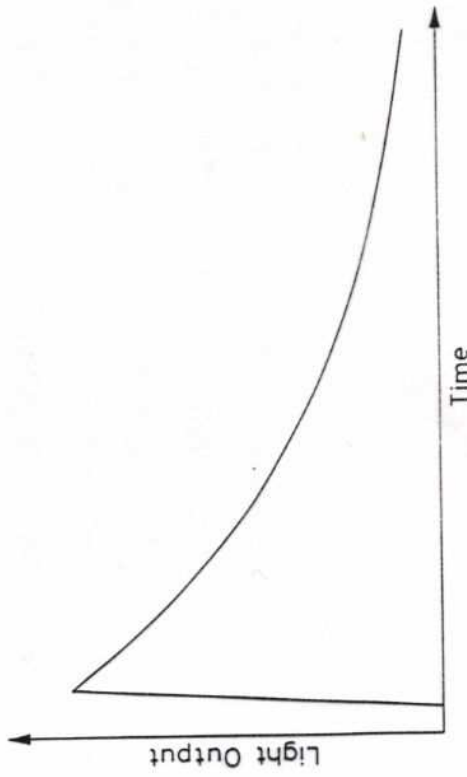


Fig. 7.2. Simple exponential decay of fluorescent radiation. The rise time is usually much faster than the decay time

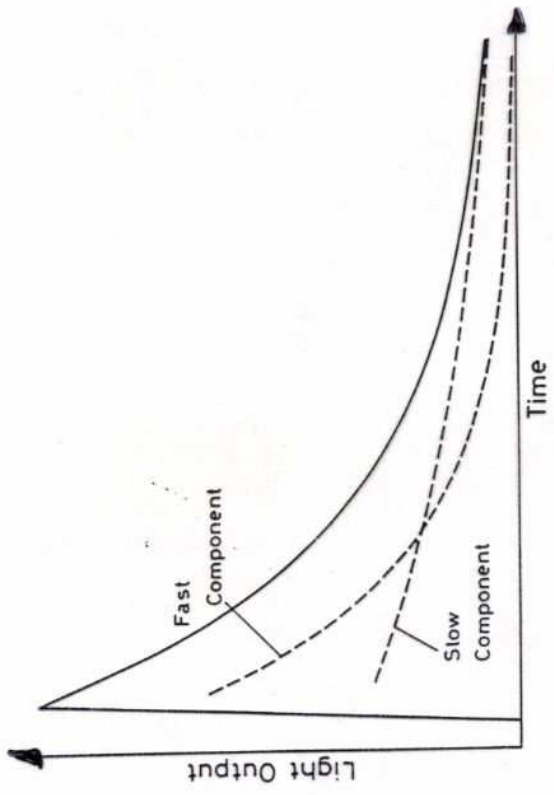
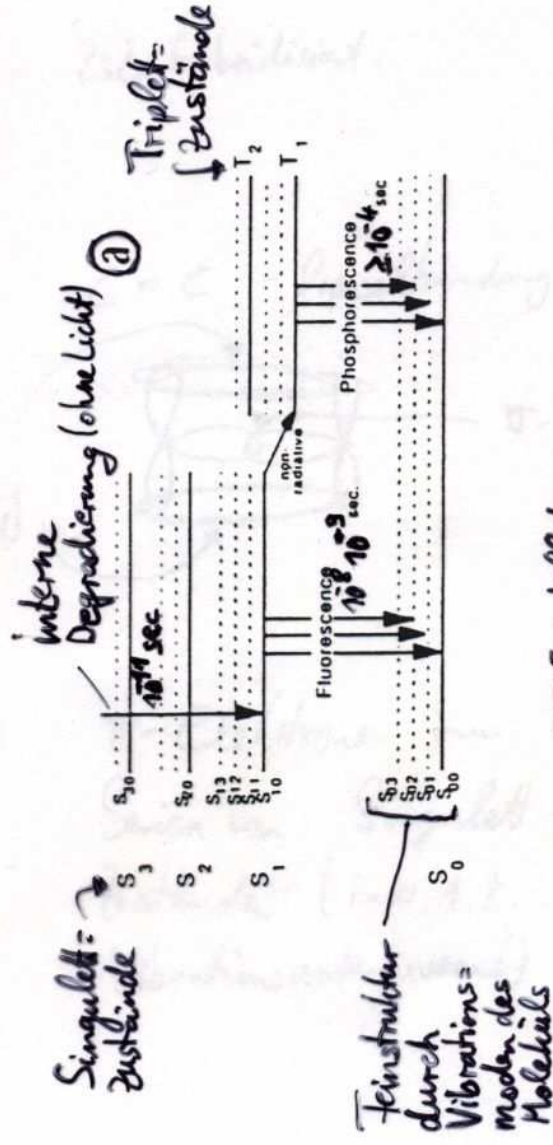


Fig. 7.3. Resolving scintillation light into *fast* (prompt) and *slow* (delayed) components. The *solid line* represents the total light decay curve

$$N(t) = A \cdot \exp\left(-\frac{t}{\tau_{\text{fast}}}\right)$$

$$N(t) = A \cdot \exp\left(-\frac{t}{\tau_{\text{fast}}}\right) + B \cdot \exp\left(-\frac{t}{\tau_{\text{slow}}}\right)$$

Scintillation in Organischer Medium



Wellenlängenverschiebung zw. Absorption & Emission durch Abstandsänderung im organischen Molekül

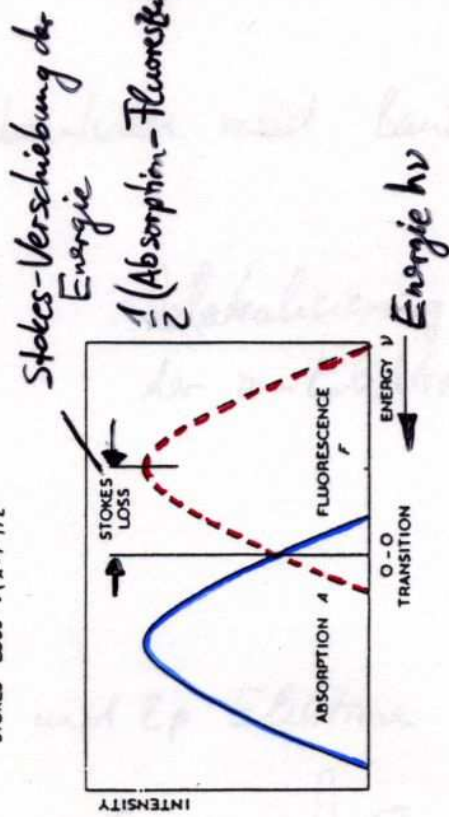
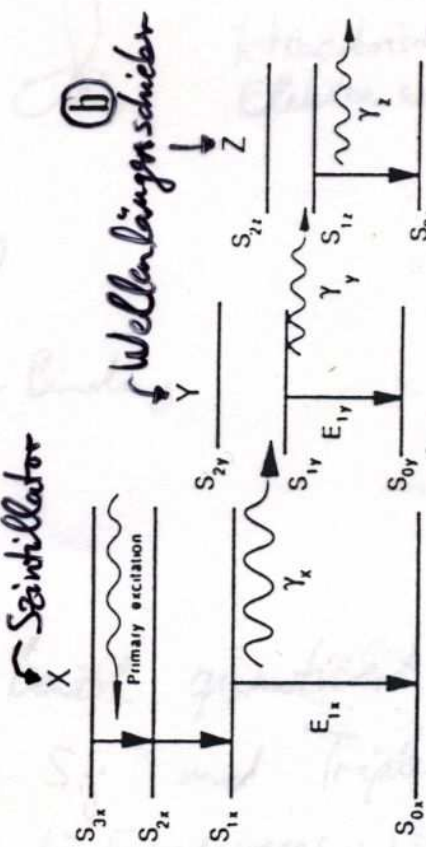
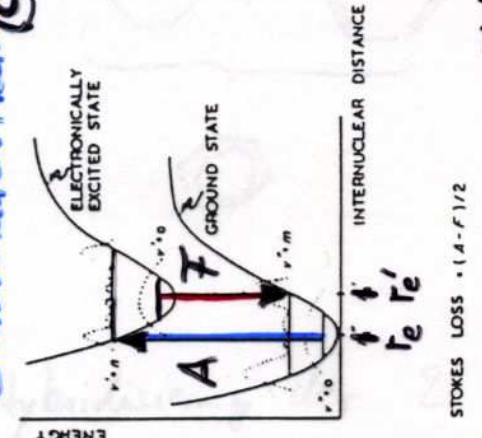


FIGURE 3: ① The p electron energy levels. ② An energy level representation of energy transfer in a scintillator composed of a solvent (X) plus two waveshifters (Y & Z). At higher concentrations (10^{-2} M), the dominant mode of energy transfer between X and Y becomes the non-radiative dipole-dipole interaction instead of the radiative mode shown in the figure. ③ Illustration of the how the Frank-Condon principle creates a shift between fluorescent absorption and emission. Note the definition of the Stokes shift. Figures 3(a) and (b) are adapted from reference [17]. Figure 3(c) is adapted from reference [19].

Organische Szintillatoren

Die Hauptemission des Fluoreszenz- und Phosphoreszenz-Lichtes der organischen Szintillatoren liegt im UV-Bereich, wo diese organischen Medien nur mäßig transparent sind. Daher werden den organischen Szintillatoren häufig weitere organische Stoffe beigemischt, die als Wellenlängenschieber fungieren. Solche Stoffe absorbieren bei kürzeren Wellenlängen aber sie emittieren (Erklärung durch das Frank-Condon-Prinzip: Im angeregten Zustand verschieben sich die Atome etwas, sodass die Abregung in ursprüngliche niedrige Energieniveaus nicht mehr möglich ist, da die Wellenfunktionen zw. angeregten und Grundniveaus keinen Überlapp mehr aufweisen.) Größe der Energiedifferenz wird als Stokes-Verschiebung bezeichnet, die durch $\frac{1}{2}(E_{\text{Absorption}} - E_{\text{Emission}})$ gegeben ist.) bei längeren Wellenlängen. Um eine optimale Anpassung an die spektrale Empfindlichkeit der Photokathode des Photomultipliers zu erreichen, werden oft mehlere Stufen von Wellenlängenschibbern kombiniert. Dies kann innerhalb des gleichen Szintillators passieren oder durch optische Kopplung des Szintillators an einen Wellenlängenschieber.

* In English werden die Wellenlängenschieber-Substanzen als Fluor bezeichnet, was nichts mit dem Element Fluor zu tun hat.

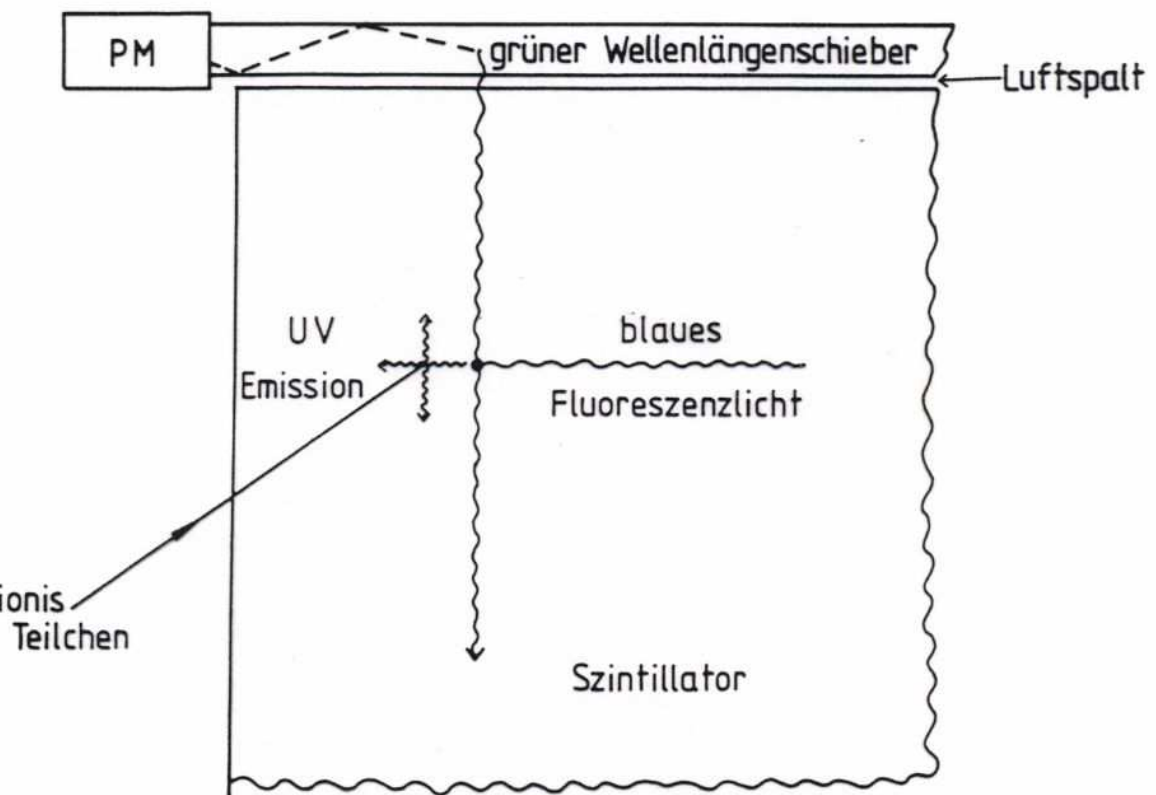


Fig.4.11: Prinzip der Lichtsammlung beim Szintillator mit Wellenlängenschieber-Auslese

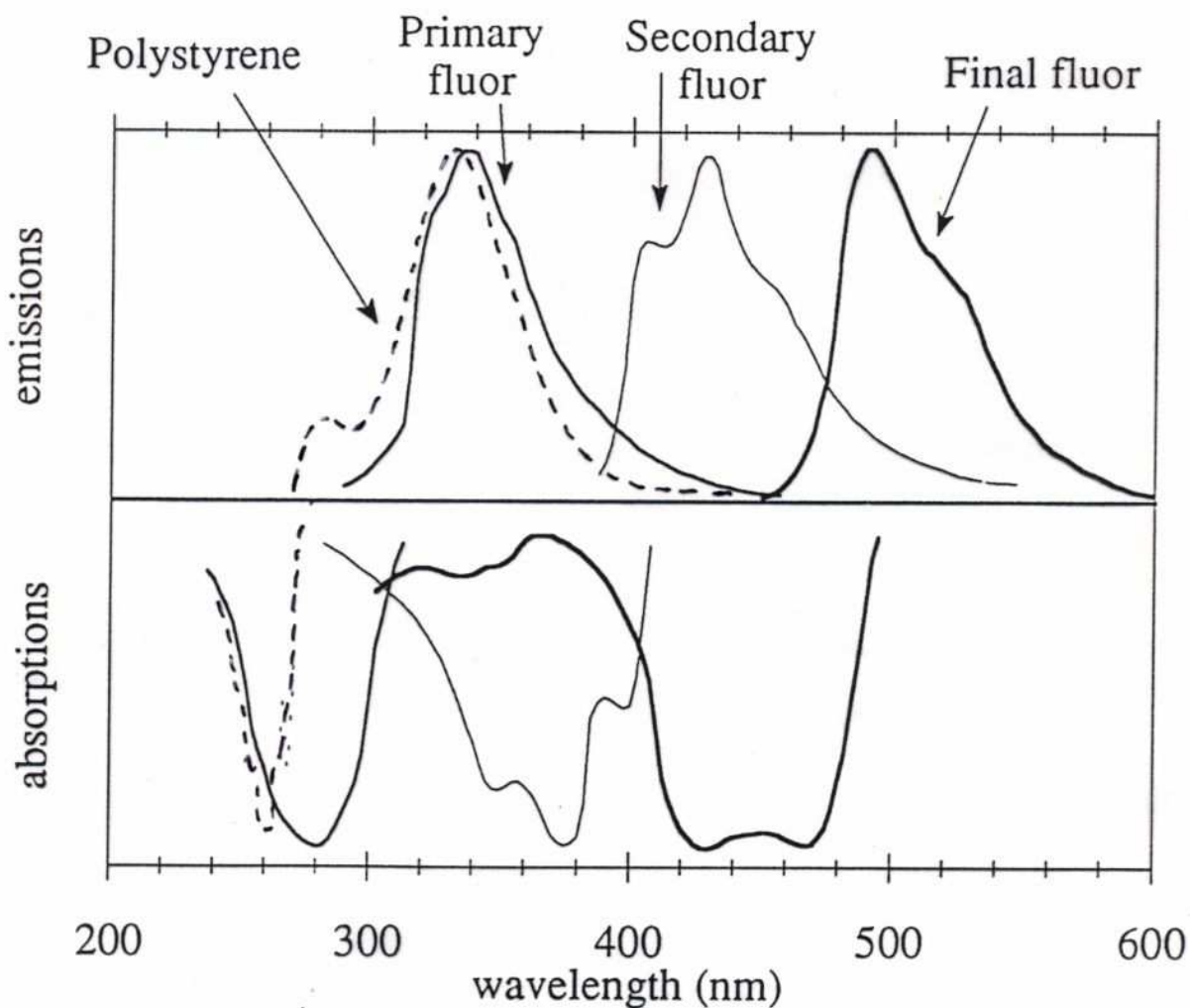


FIGURE 5: Illustration of how the matching of absorption and emission spectra create a green-emitting scintillator.

Organische Scintillatoren

Eigenschaften (pos.& neg.):

- + schnelle Lichtemission durch Fluoreszenz
- + Scintillations- & Fluoreszenzmechanismen unabhängig von der geometrischen Form des Scintillators und von Aggregatzustand (fest, flüssig, gasförmig)
 - leicht zu verarbeiten, z.B. als Plastikmaterial, und billig
- + hoher Anteil von Wasserstoff (→ Nachweis von Neutronen)
- zusätzliche langsame Phosphoreszenz-Komponente
- große Strahlungslänge λ_0 (→ für totale Absorption kaum geeignet, zusätzl. Material notwendig)
- teilweise geringe Lichtausbeute (typ. 30% der Lichtausbeute von NaI(Tl))

Organische vs. Anorganische Szintillatoren

Z.B. γ -Absorption im Szintillator:

Anorganisch: NaI ; Organisch: NE102A (Plastik)

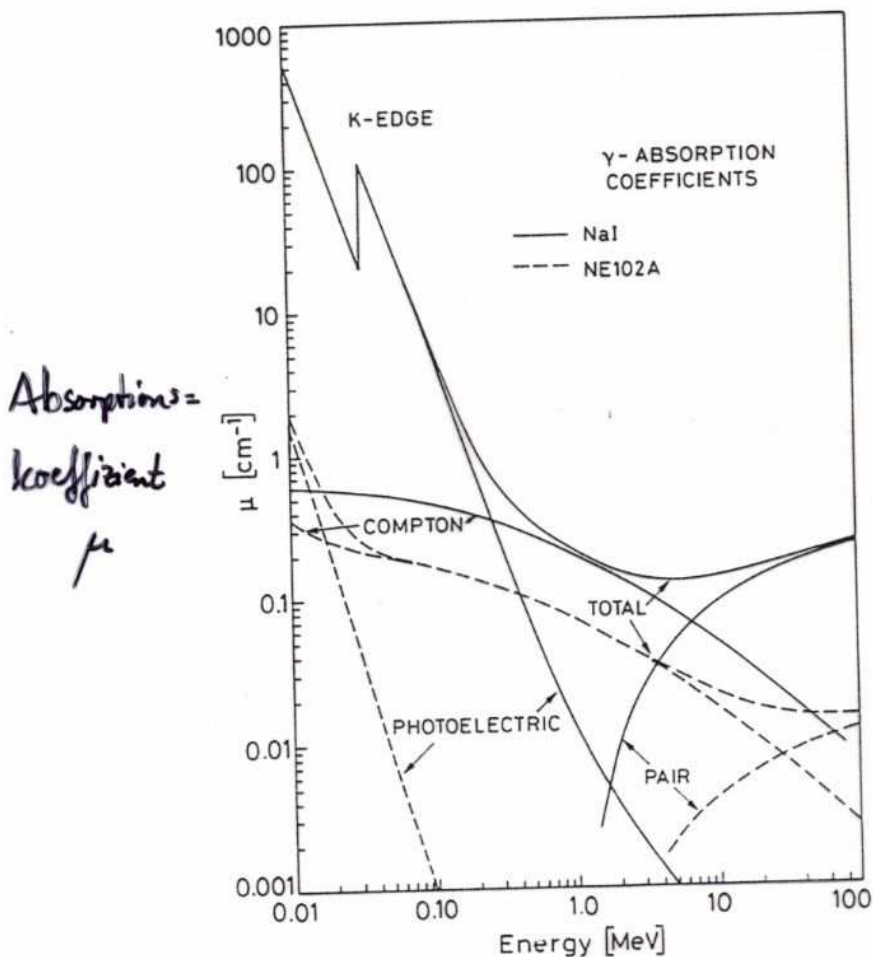


Fig. 7.13. Gamma-ray absorption coefficients for NaI and NE102A plastic scintillator. Note the difference in the relative magnitudes of the photoelectric and Compton cross sections

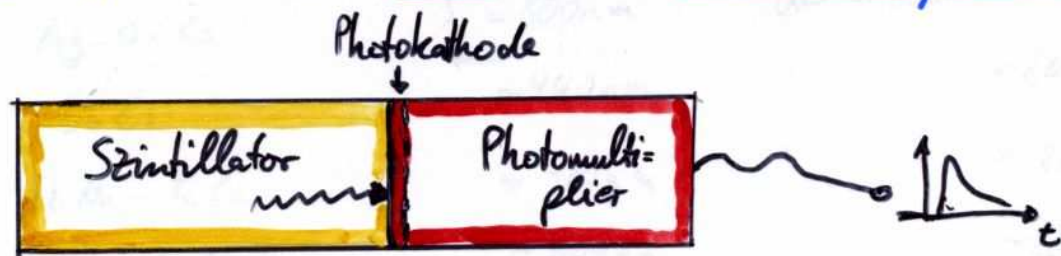
NB: Photoeffekt $\sim Z^5$

Paarerzeugung $\sim Z^2$

Compton $\sim Z$

Szintillator & Photomultiplier

Die typische Anwendung des Szintillators ist zusammen mit einer Photokathode und einem Photomultiplier



Um das Szintillationslicht möglichst effektiv nachweisen zu können, müssen Emissionspektrum des Szintillators und spektrale Empfindlichkeit der Photokathode optimal aufeinander abgestimmt sein.

Ein Photomultiplier besteht aus:

- Photokathode die meist aus Alkali-Metallen oder Erdalkali-Metalle ^{bzw. Schichtungen,} sowie Mischungen davon (z.B. Bialkali), die alle eine geringe Elektroanstrittsarbität besitzen, aufgebaut ist
- Sekundärelektronenvervielfacher (SEV oder Photomultiplier PM) ist eine Folge von Elektroden (Dynoden) auf ansteigendem positivem elektrischen Potential. Auftreffende Elektronen schlagen Sekundärelektronen heraus und verstärken dadurch das Signal

Photomultiplier

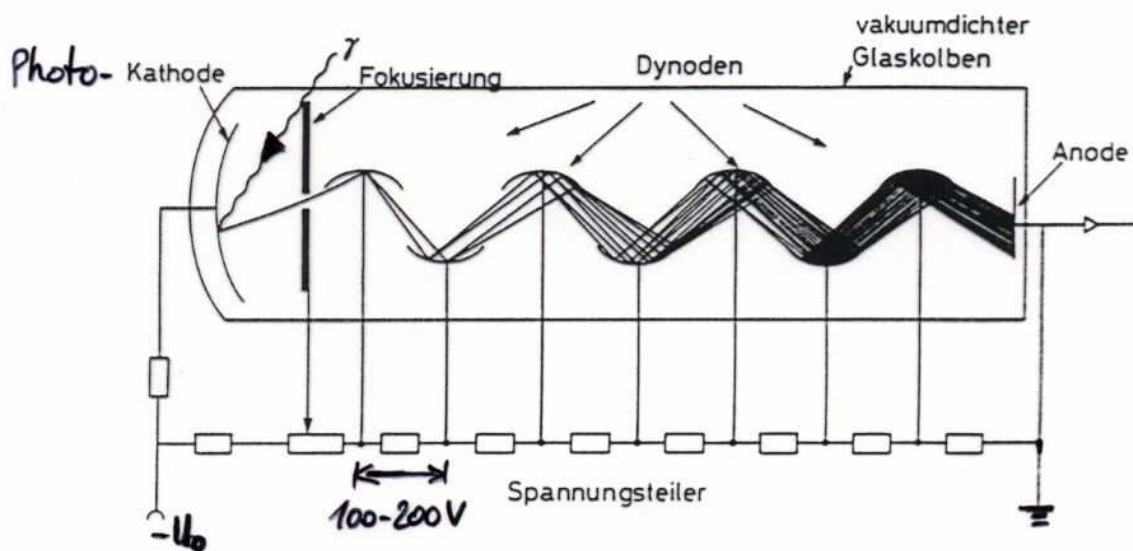


Abb. 5.1 Prinzipieller Aufbau eines Photomultipliers. Das Elektroden-System befindet sich in einem evakuierten Glaskolben. Der Photomultiplier wird meist durch einen Mu-Metall-Zylinder aus hochpermeablem Werkstoff gegen magnetische Streufelder abgeschirmt (auch gegen das Erdmagnetfeld).

typ. werden 3-5 Sekundärelektronen emittiert

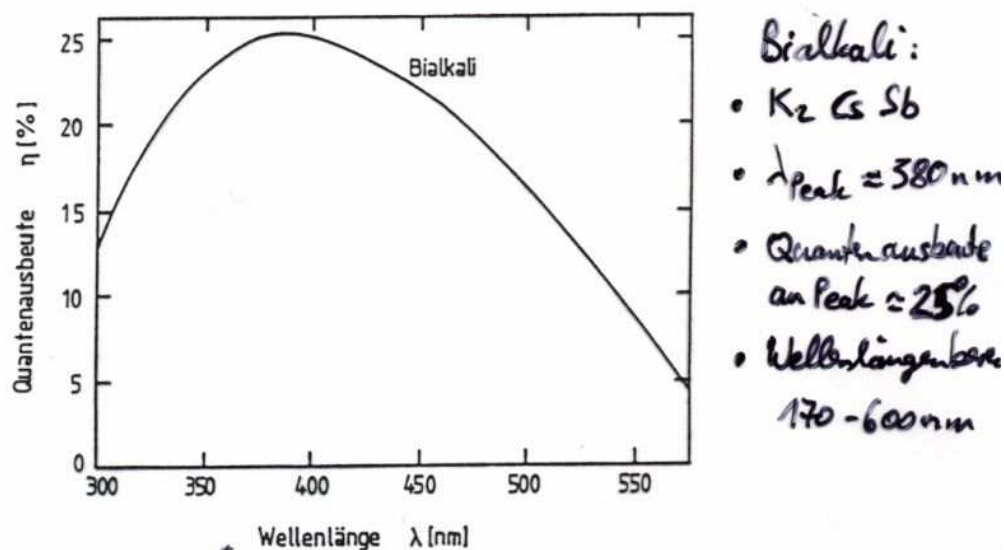


Abb. 5.2 Quantenausbeute* einer Bialkali-Kathode als Funktion der Wellenlänge [79].

* Anzahl der Photolektronen pro 100 eingingende Photonen

Photomultiplier

existieren in vielen Bauformen, mit denen gewisse Probleme minimiert werden sollen:

Jitter im Signal durch unterschiedliche Flugzeiten der Photo-Elektronen von der Photokathode zur ersten Dynode. Gründe:

- Variation der Photo-Elektronengeschwindigkeit beim Austritt aus der Kathode. Spektrum der kinetischen Energien bei Bestrahlung mit Licht von 400-430nm reicht von 0 bis 1.8eV bei einer Bialkali-Kathode (K_2CsSb) mit häufigstem Wert von 1.2 eV ($St \overset{typ.}{=} 0.2\text{ns}$)
- Unterschiedlich lange Wegstrecken von Photokathode zur ersten Dynode. Bauform ist dafür entscheidend. (typ. $St \approx 0.2\text{-}0.7\text{ns}$)

Der Jitter im Signal begrenzt die Zeitauflösung, mit der das Auftreten von Szintillationslicht nach einem Teilchendurchgang bestimmt werden kann.

Photomultiplier

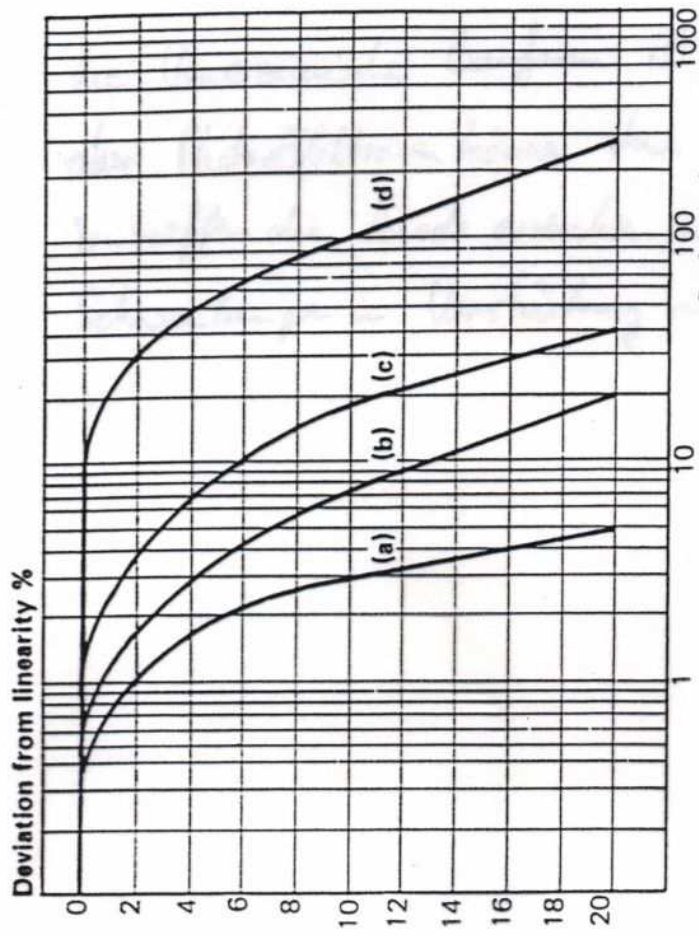
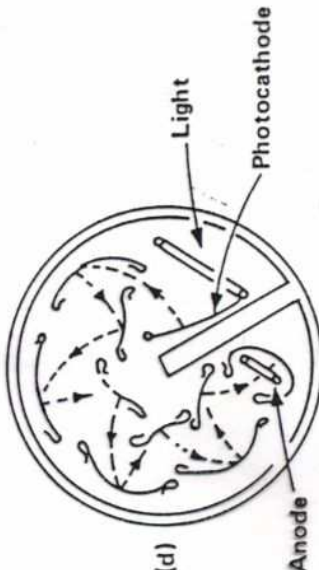
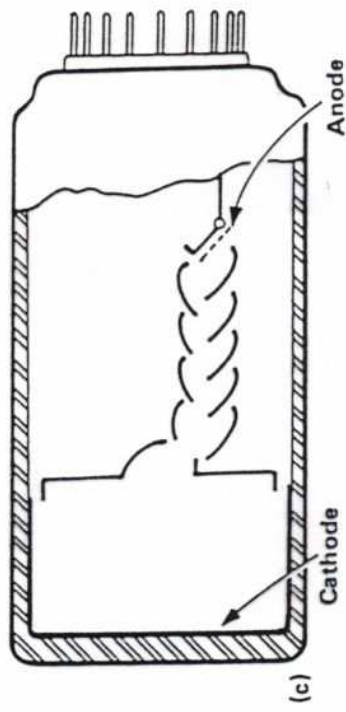
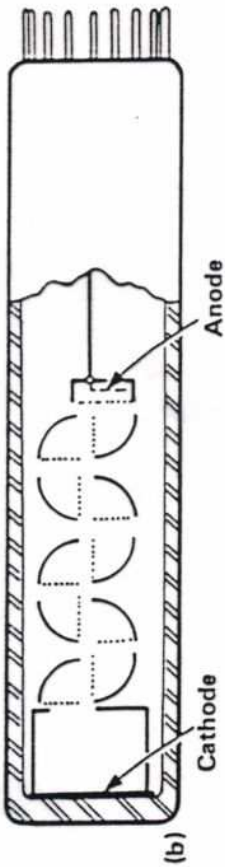
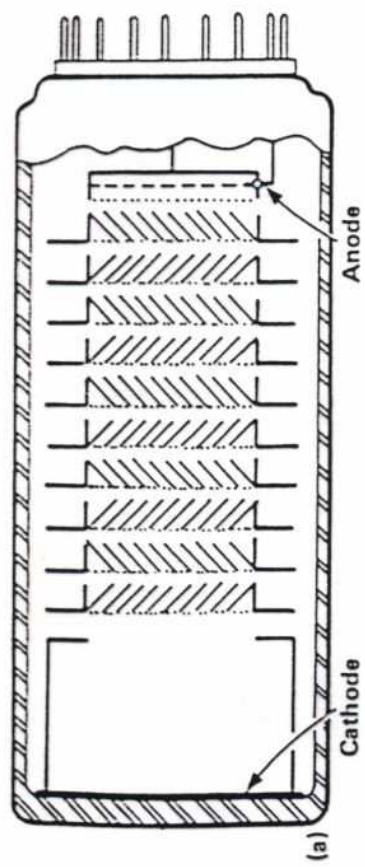


Fig. 8.5. Linearity of different dynode configurations: (a) box and grid, (b) venetian blind with standard voltage divider, (c) venetian blind with high current voltage divider, (d) linear focused with very high current divider (from *EMI Catalog [8.2]*)

◀ Fig. 8.4 a – d. Various dynode configurations for PM's (from *EMI Catalog [8.2]*):
 (a) venetian blind, (b) box and grid, (c) linear focused, (d) side-on configuration

Mikrokanal - Multiplier

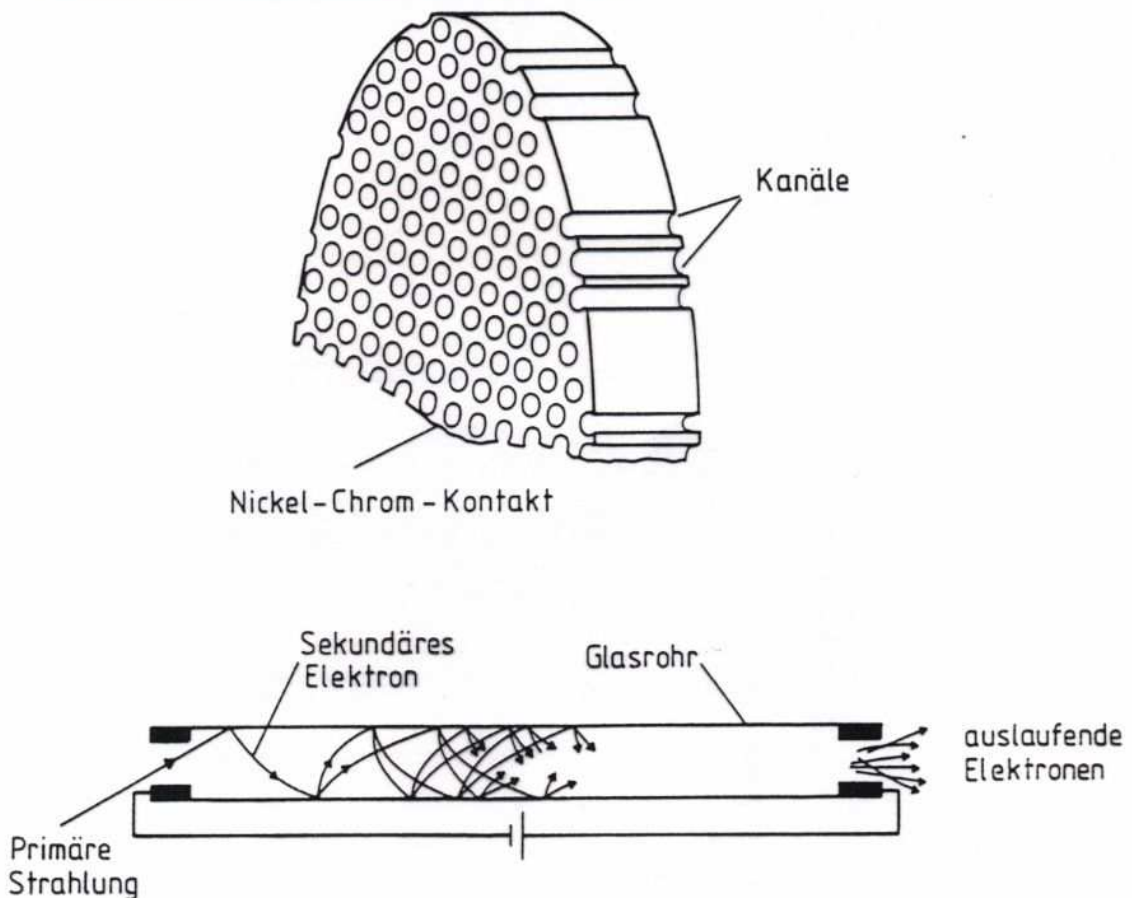
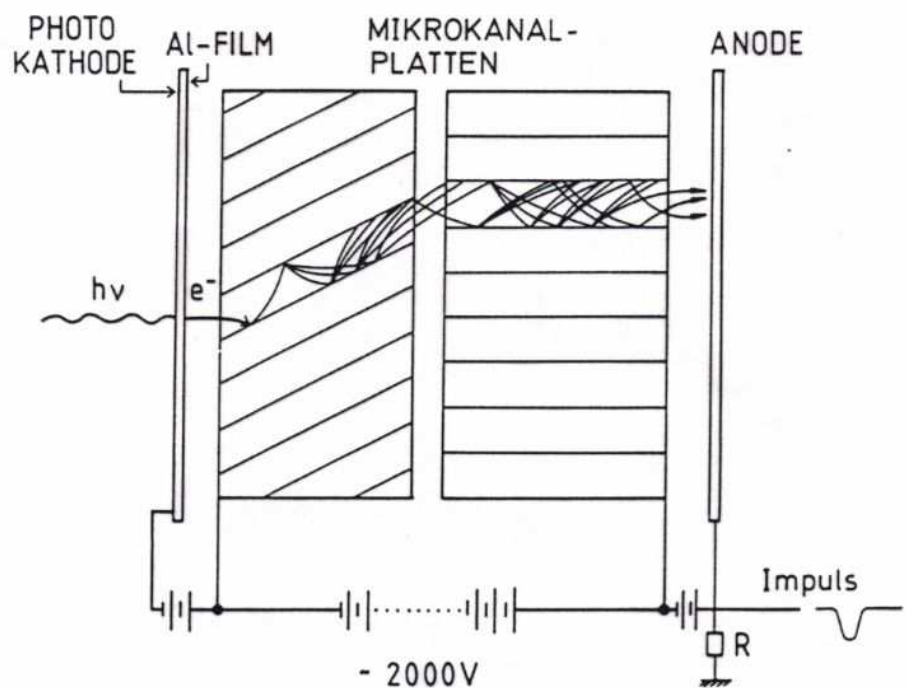


Fig.4.4: Prinzip eines Mikrokanal-Multipliers [DH 77].



Schematischer Aufbau eines zweistufigen Mikrokanal-Vervielfachers in Winkel-Form ("Chevron").

Photo- und Mikrokanal-Multiplier

eine kleine Auswahl:

	Amperex XP 2020	RCA 8854	Hamamatsu R 647-01	ITT F 4129	Hamamatsu R1564U
Verstärkung	$>3 \times 10^7$	3.5×10^8	$>10^6$	1.6×10^6	5×10^5
Hochspannung Anode-Kathode(V)	2200	2500	1000		
Mikrokanal- Spannung (V)				2500	3400
Anstiegszeit τ_R (ns)	1.5	3.2	2	0.35	0.27
Elektronen- laufzeit τ_T (ns)	28	70	31.5	2.5	0.58
Laufzeitschwankung (HWB) für ein Photo- elektron τ_s (ns)	0.51	1.55	1.2	0.20	0.09
Laufzeitschwankung (HWB) für viele Photo- elektronen τ'_s (ns)	0.12		0.40	0.10	
Anzahl Photoelektronen bei Messung von τ'_s	2500		100	800	
Quantenausbeute (%)	26	27	28	20	15
Photokathoden- durchmesser (mm)	44	114	9	18	18
Dynodenmaterial	Cu Be		GaP/BeO		

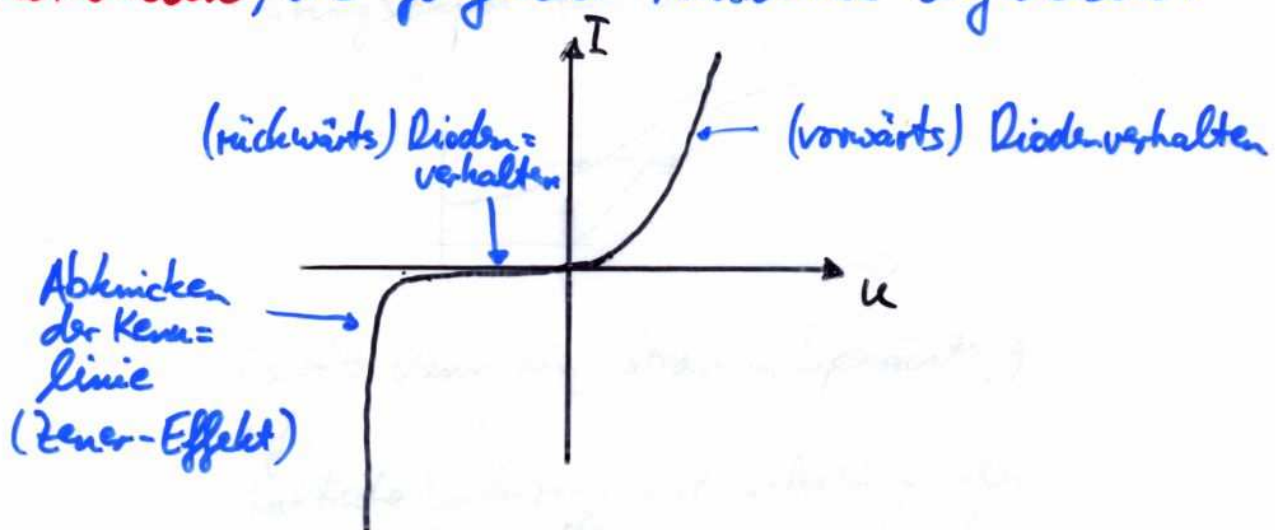
Es gibt weitere Bauformen, z.B. für das Superkanalende
Experiment wurden Photomultiplier mit 50 cm Photokathoden-
von Hamamatsu angefertigt



Photomultiplier, Avalanche-Dioden

Ein wesentlicher Nachteil der Photomultiplier ist, dass sie sehr empfindlich auf Magnetfelder reagieren (i.w. Abfall der Verstärkung). Sollen PMs in Magnetfeldern betrieben werden, so müssen sie in geeignete Abschirmungen (z.B. μ -Metall) eingebaut werden.

Alternativ gibt es sehr empfindliche Lichtdetektoren aus Halbleitermaterial, so genannte Avalanche-Photodioden, die folgende Kennlinie aufweisen:



Beim Zener-Effekt leiten Elektronen des Sperrstroms den Lawinen-Effekt ein. Bei Avalanche-Photodioden sind es durch Photonen erzeugte Elektron-Loch-Paare, die den Lawinen-Effekt auslösen.

Zusammenfassung: Szintillatoren

- Energieverlust eines Teilchens erzeugt Szintillations-licht
- Szintillations-Effekt tritt in Kristallen und dotiertem Glas auf (Exitonen-Mechanismus)
- ... und in organischen Stoffen mit Benzolringen ⓐ (Fluoreszenz, Phosphoreszenz)
- Lichtsignal klingt i.A. recht schnell ab
→ Szintillatoren zur Zeitmessung geeignet
- Wellenlängenschieber passen Emissionspektrum an spektrale Empfindlichkeit der Photokathode an
- Photomultiplier verstärken das Signal einzelner Photoelektronen bis zur Messbarkeit